

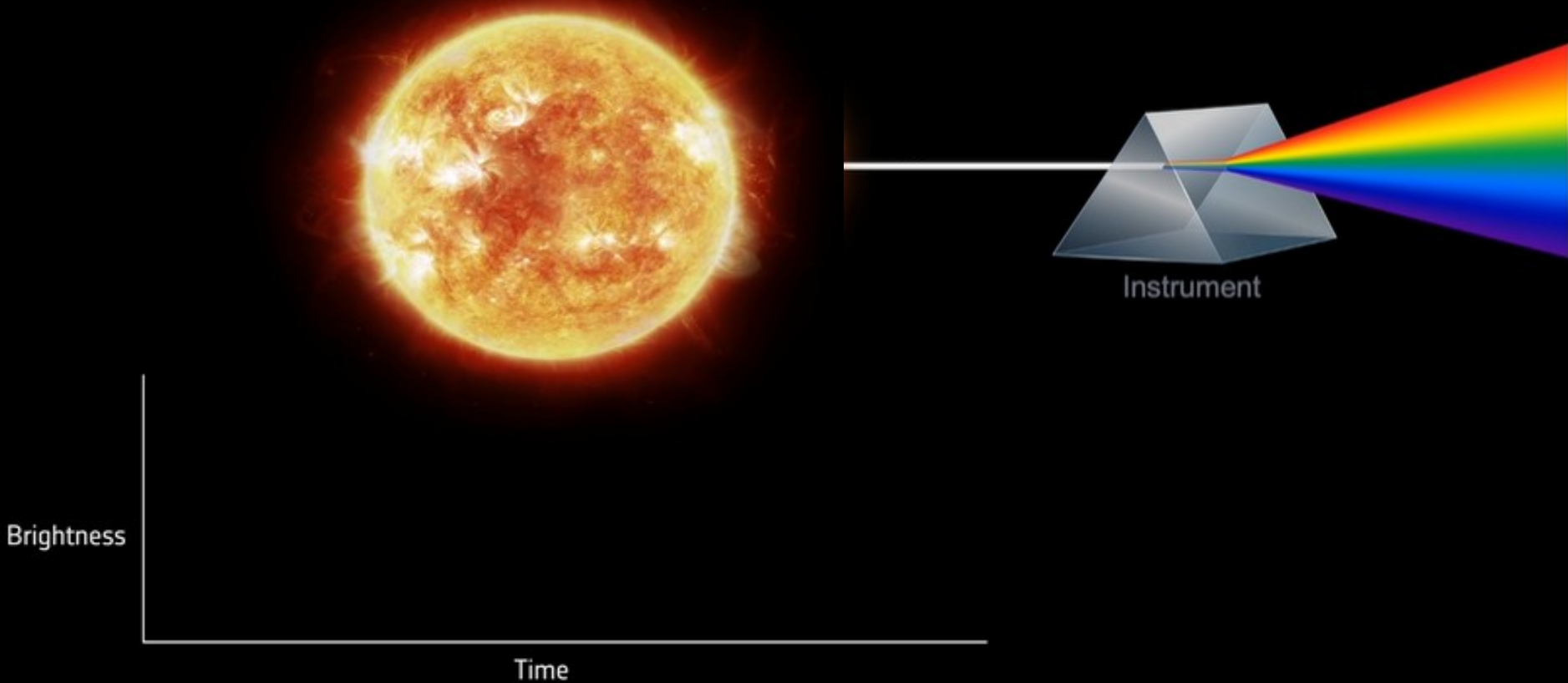


ORPHÉE FAUCOZ (CNES)

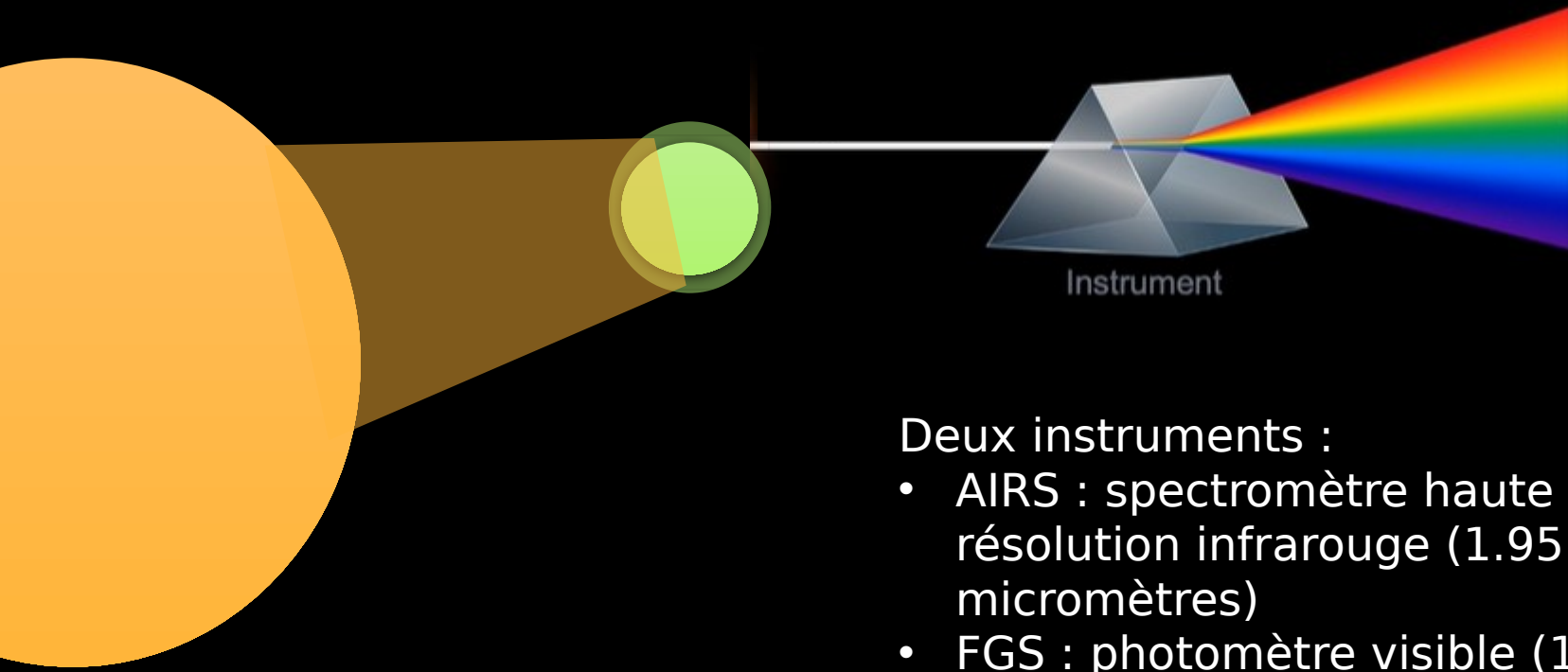
15/10/2025



# | CONTEXTE

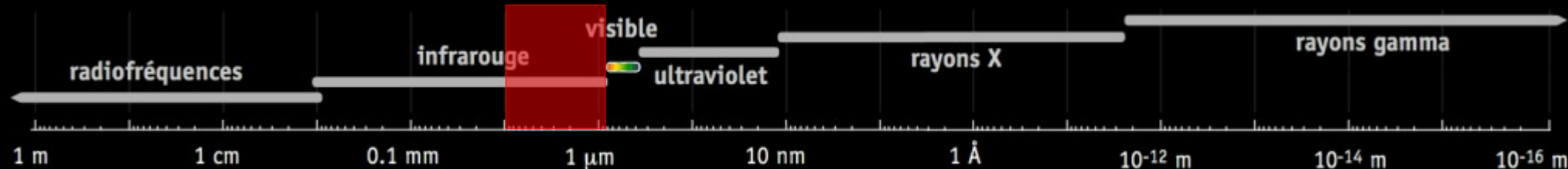


# | CONTEXTE

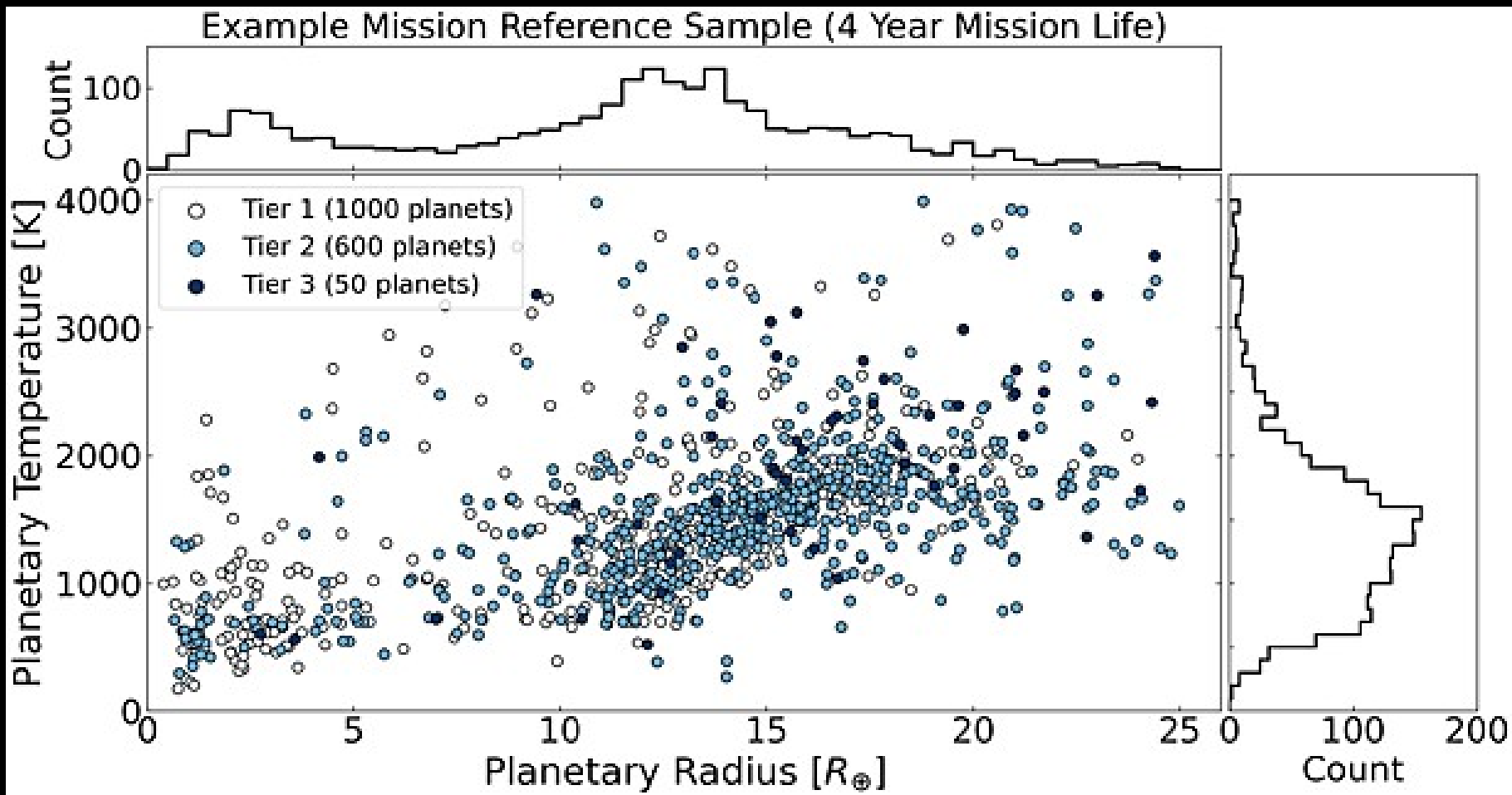


Deux instruments :

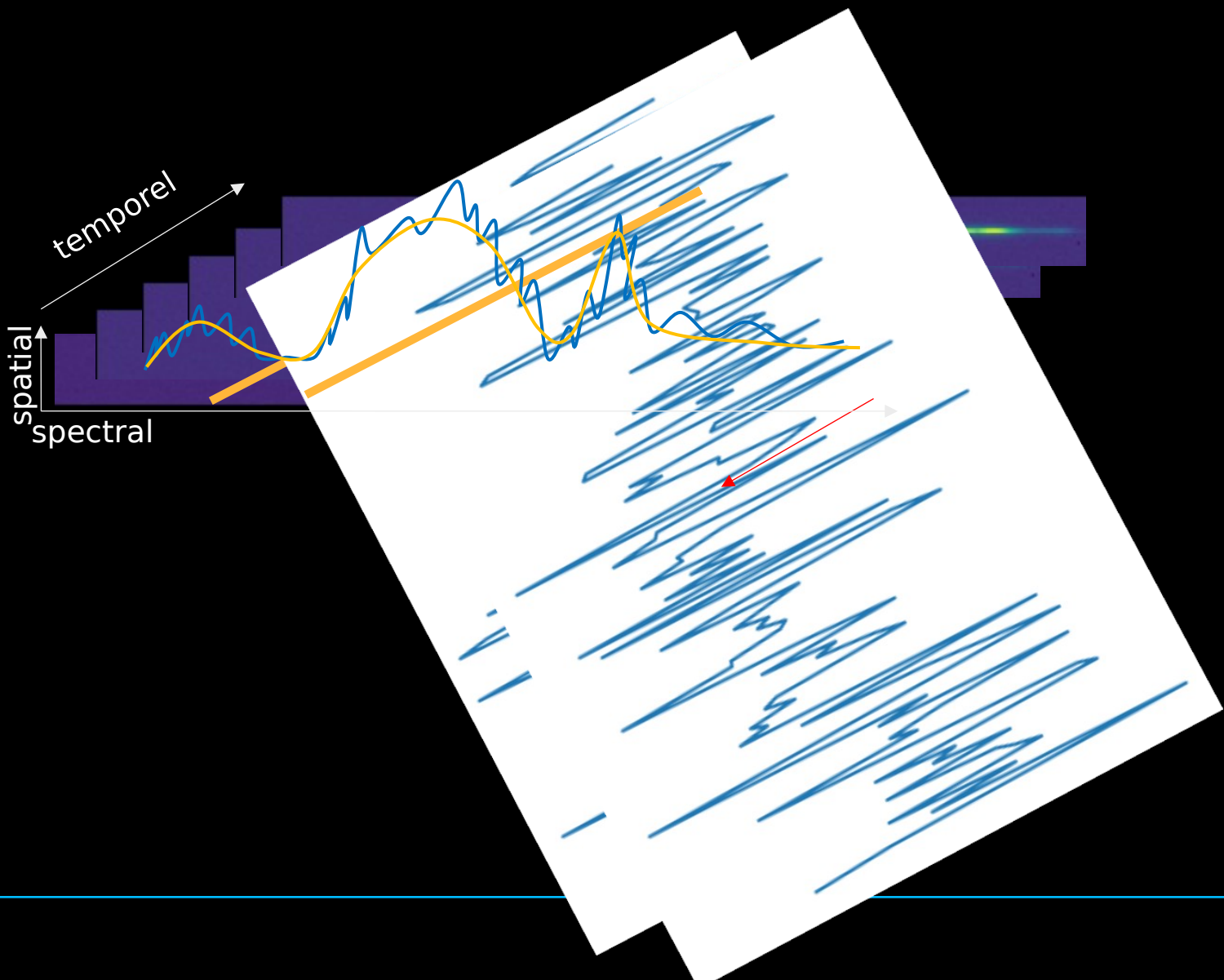
- AIRS : spectromètre haute résolution infrarouge (1.95 - 7.8 micromètres)
- FGS : photomètre visible (1.1 à 1.95 micromètres)



# | CONTEXTE



# | OBSERVATION VERS SPECTRE

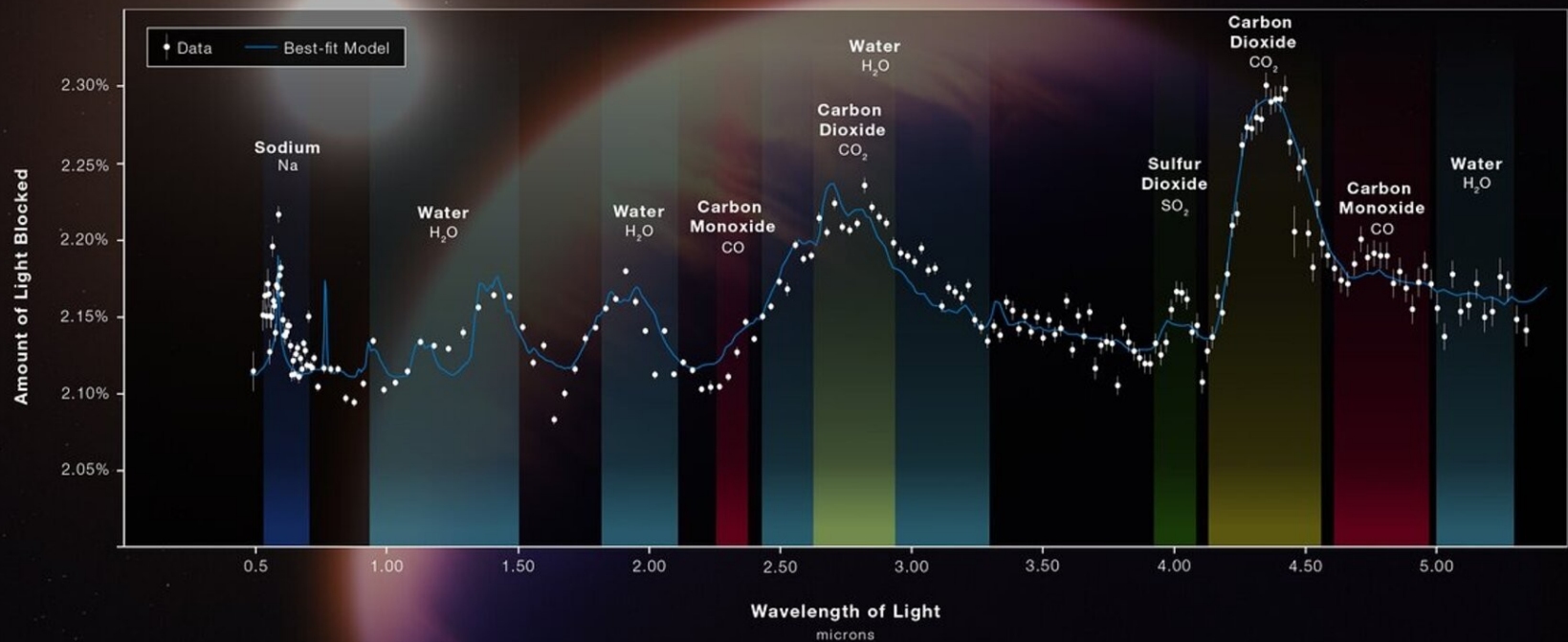


# | CONTEXTE

	2-5 $\mu\text{m}$	5-8 $\mu\text{m}$
H <sub>2</sub> O*	<b>2.69</b>	6.2
CO <sub>2</sub> *	2.03, <b>4.25</b>	-
C <sub>2</sub> H <sub>2</sub>	<b>3.0</b>	7.53
HCN	<b>3.0</b>	-
O <sub>3</sub>	4.7	-
HDO	2.7, 3.67	7.13
CO*	2.35, <b>4.7</b>	-
NH <sub>3</sub>	2, 2.25, 2.9, <b>3.0</b>	6.1
PH <sub>3</sub>	4.3	-
CH <sub>4</sub> *	2.2, 2.31, 2.37, <b>3.3</b>	6.5, 7.7
CH <sub>3</sub> D	<b>3.34, 4.5</b>	6.8, 7.7
C <sub>2</sub> H <sub>4</sub>	<b>3.22, 3.34</b>	6.9
H <sub>2</sub> S	2.5, 3.8, ...	7
SO <sub>2</sub>	4	7.3
N <sub>2</sub> O	2.8, 3.9, <b>4.5</b>	7.7
NO <sub>2</sub>	3.4	6.2, 7.7
H <sub>3</sub> <sup>+</sup>	2.0, 3-4.5	-
TiO	2-3.5	-
VO	2-2.5	-
FeH	2	-
C <sub>2</sub> H <sub>6</sub>	<b>3.35</b>	6.79

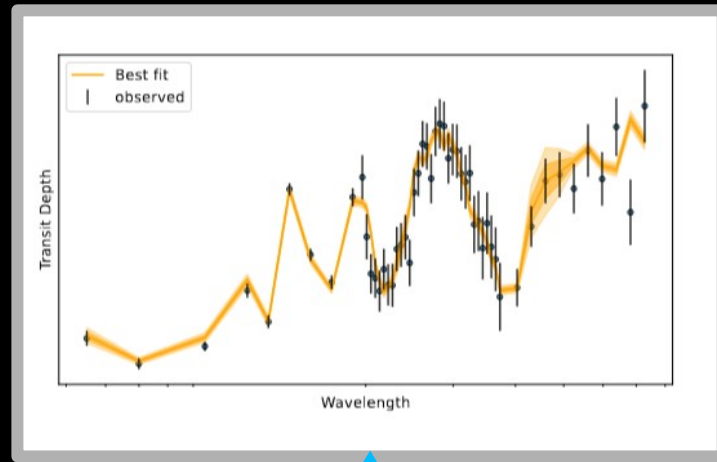
## HOT GAS GIANT EXOPLANET WASP-39 b ATMOSPHERE COMPOSITION

NIRSpec PRISM



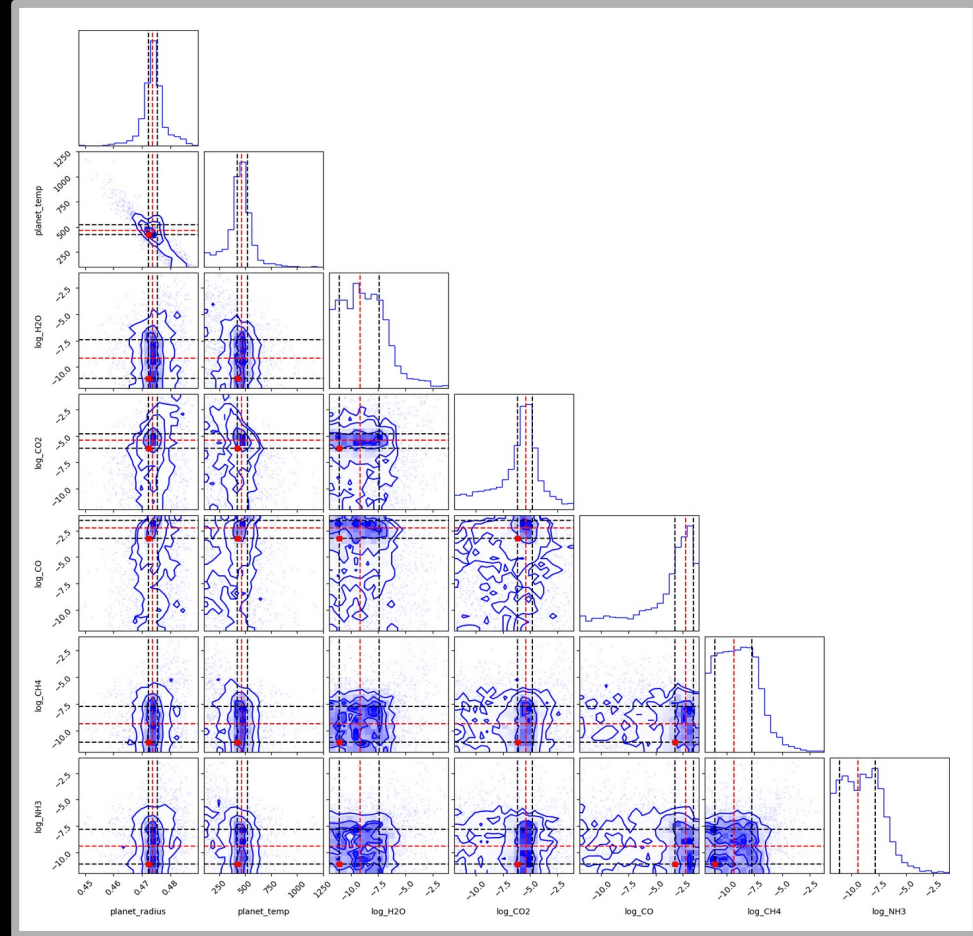
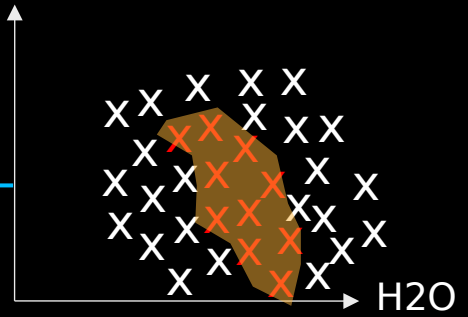
**WEBB**  
SPACE TELESCOPE

# | LE RETRIEVAL

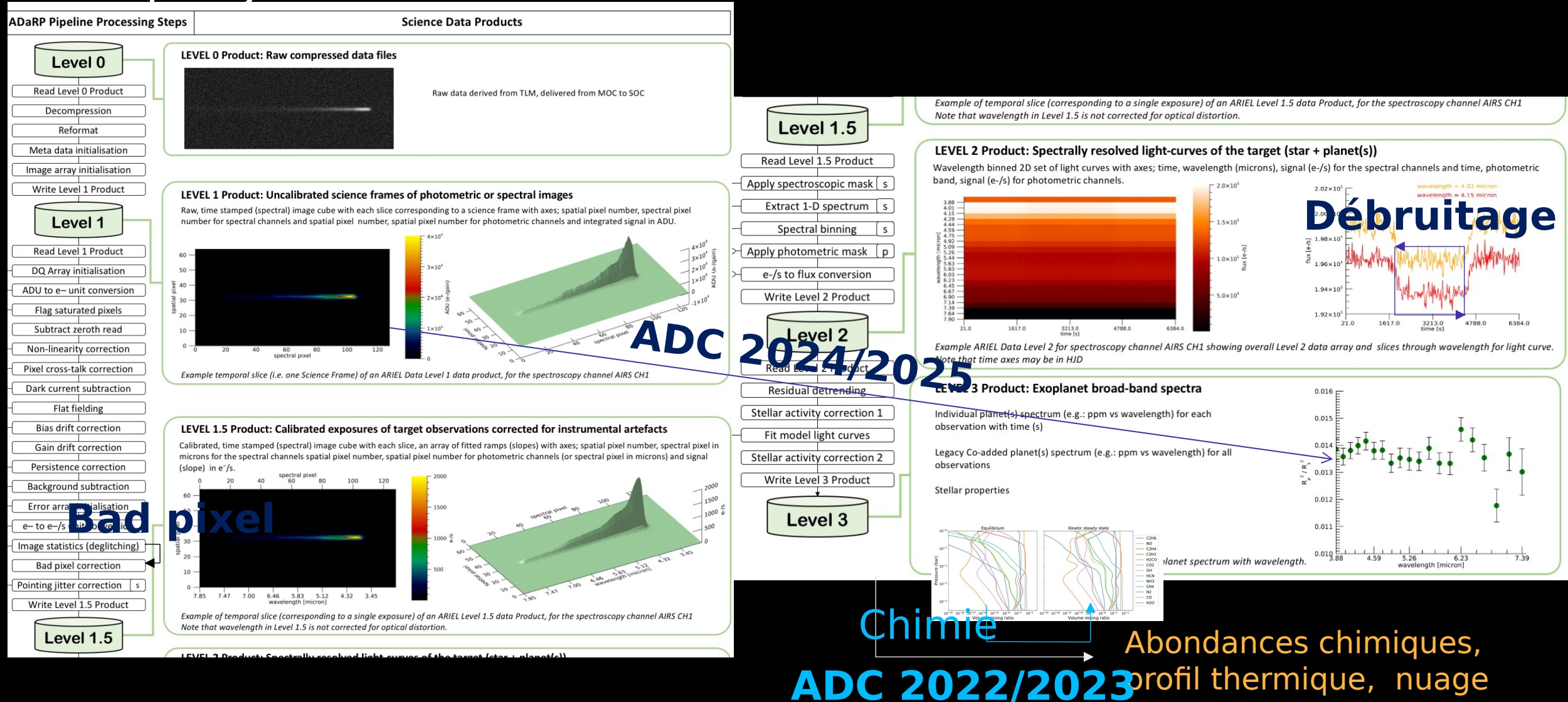


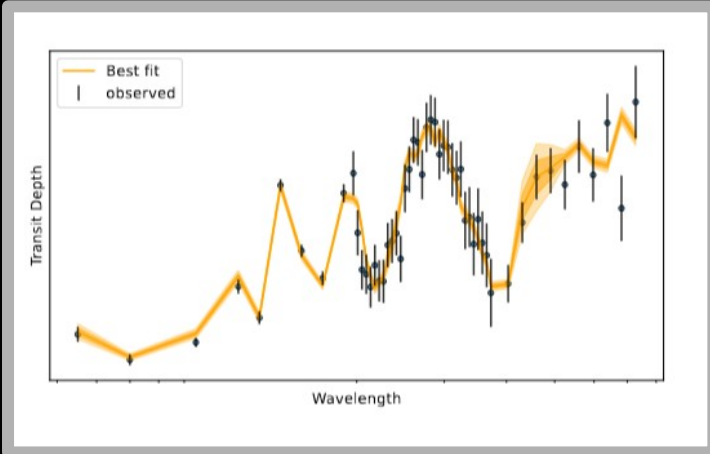
MCMC / Nested Sampling

Température

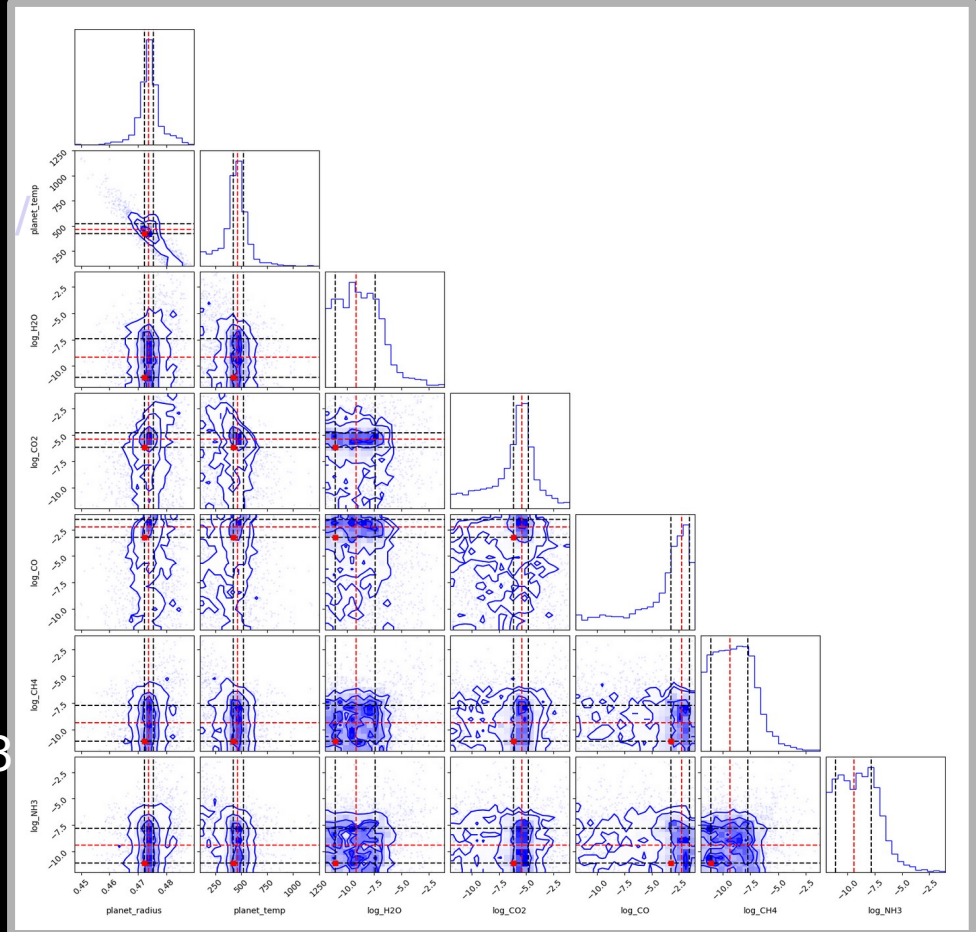


# OBJECTIFS





Réseau de convolution  
NF

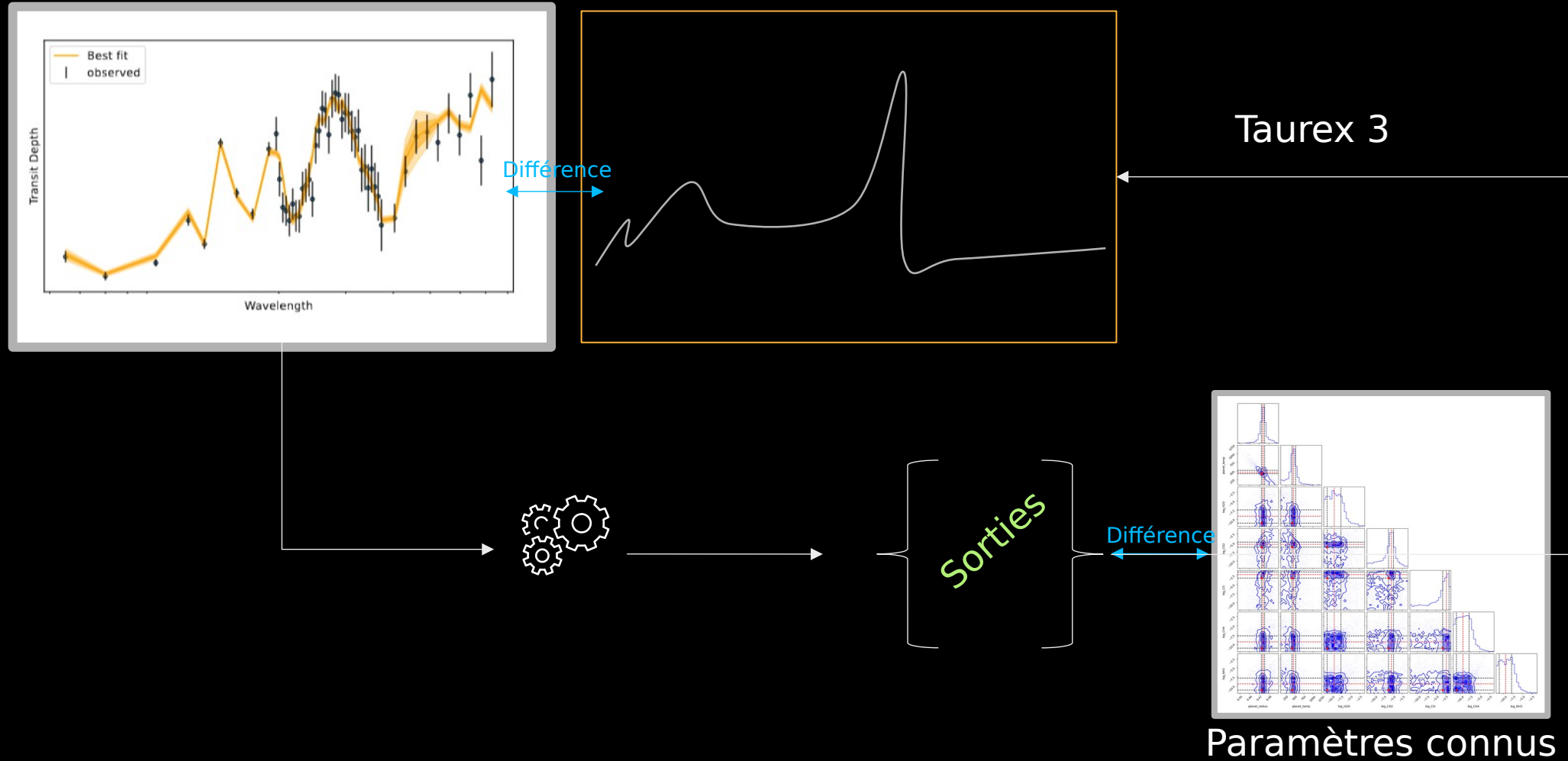


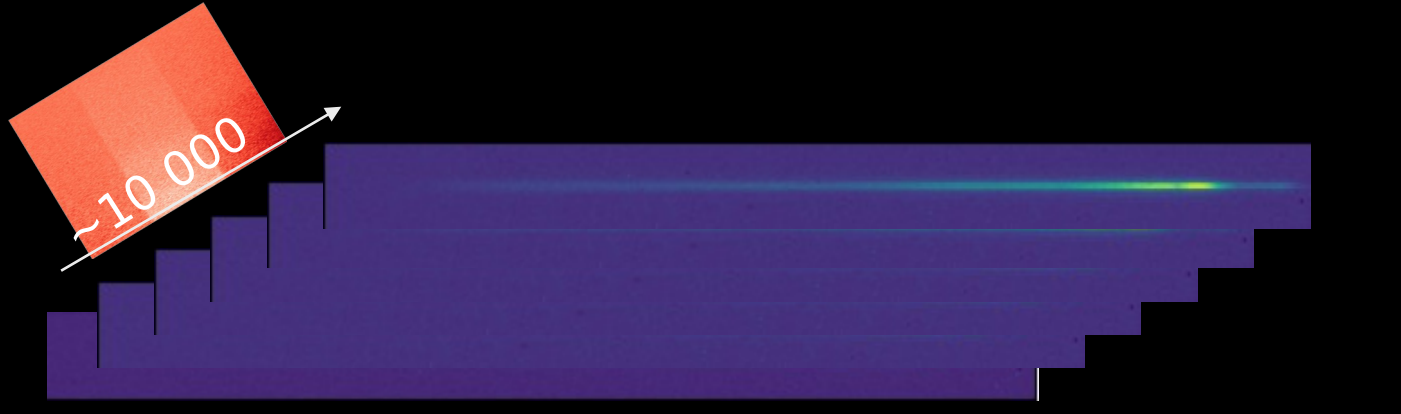
~26 000 spectres simulés et leurs abondances (Taurex 3)  
+80 000 spectres sans abondance

448 participants

Métrique : distance de Wasserstein-2 (2022), Kolmogorov-Smirnov-2 (2023)

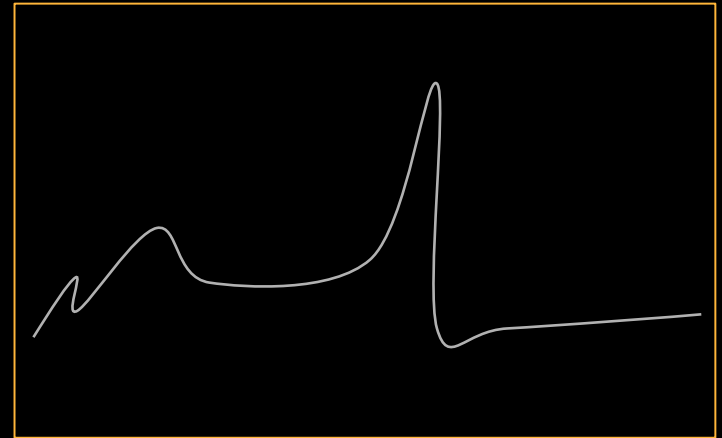
# | POUR ALLER AU-DELÀ ?





32 x 356

644 observations de transit  
simulées par ExoSim 2 sur FGS1  
et AIRS-CH0

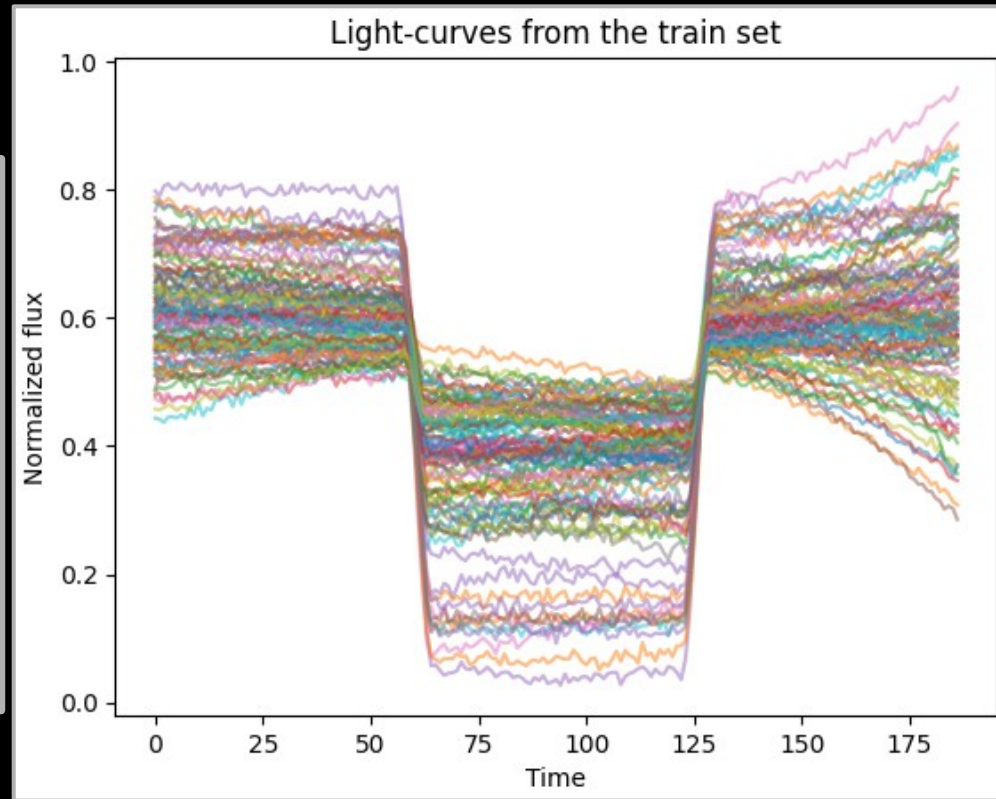


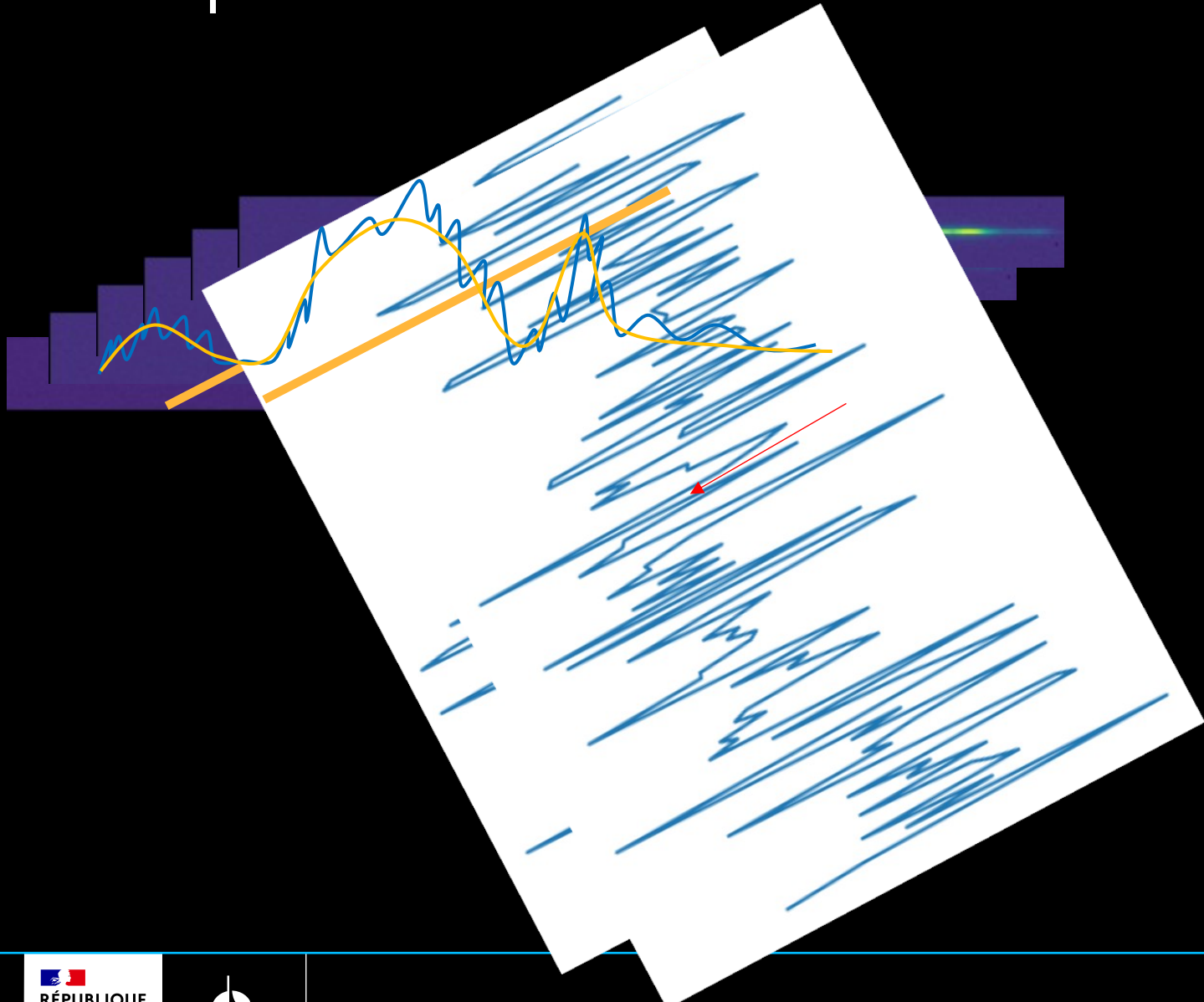
644 spectres

1150 participants (1080  
soumissions) !

## Diversité du jeu de données

	Training	Training-Ext	Test case 0	Test case 1
$R_p$ range ( $R_{Jup}$ )	0.5 - 1.2	0.5 - 1.2	0.5 - 1.2	0.5 - 1.2
Host Stars	KELT-11, HD 17194	KELT-11, HD 17194	KELT-11, HD 17194	KELT-11, HD 17194
Trace gases	H <sub>2</sub> O, CH <sub>4</sub> , CO <sub>2</sub> , Cloud	H <sub>2</sub> O, CH <sub>4</sub> , CO <sub>2</sub> , Cloud	NH <sub>3</sub> , C <sub>2</sub> H <sub>2</sub> , SO <sub>2</sub> , SiO	NH <sub>3</sub> , C <sub>2</sub> H <sub>2</sub> , SO <sub>2</sub> , SiO
Detector type	Model A	Model A	Model A	Model B
Semi-Major Axis	Fixed	$\mathcal{U}(8.81, 11)$	Fixed	Fixed
Inclination	Fixed	$\mathcal{U}(86.71, 88)$	Fixed	Fixed
Mid Transit Time	Fixed	$\mathcal{U}(t_0-0.1, t_0+0.1)$	Fixed	Fixed

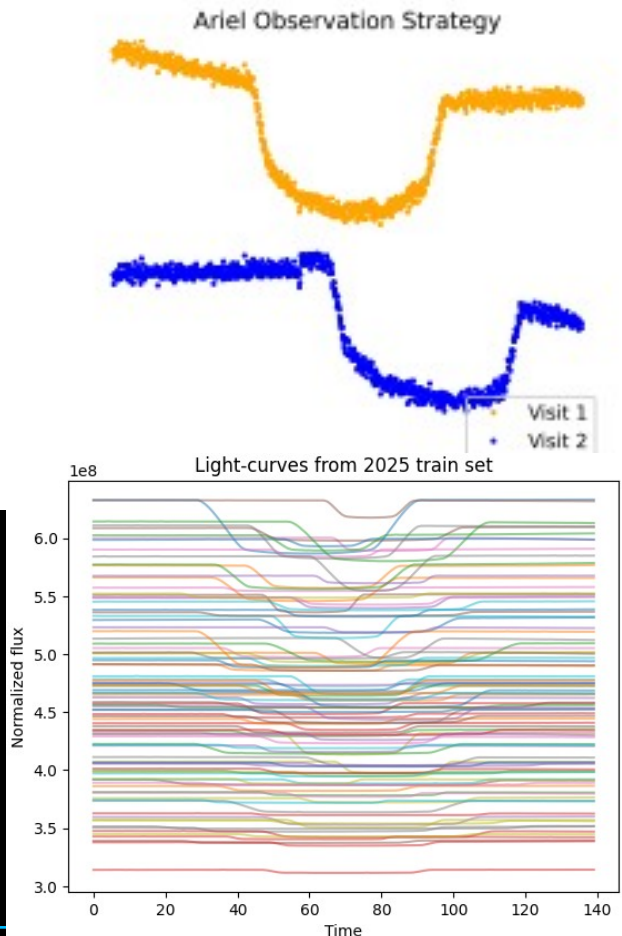
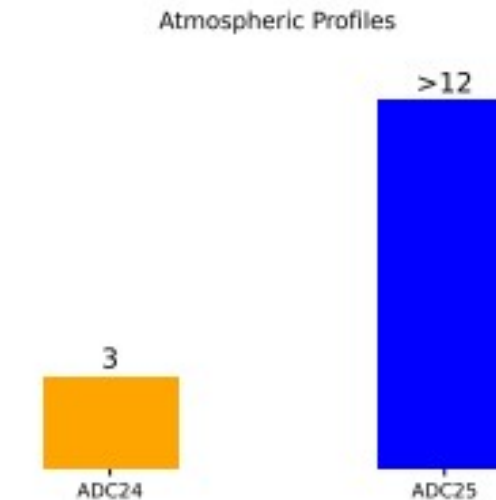
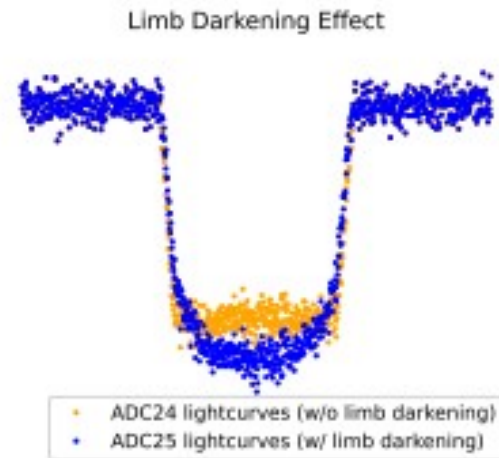
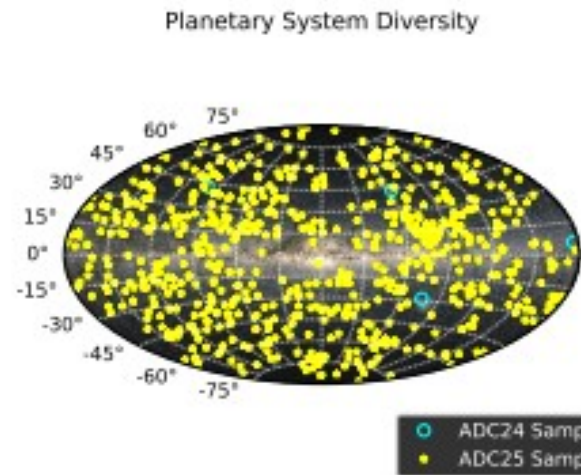




Estimation de la profondeur de transit par wl

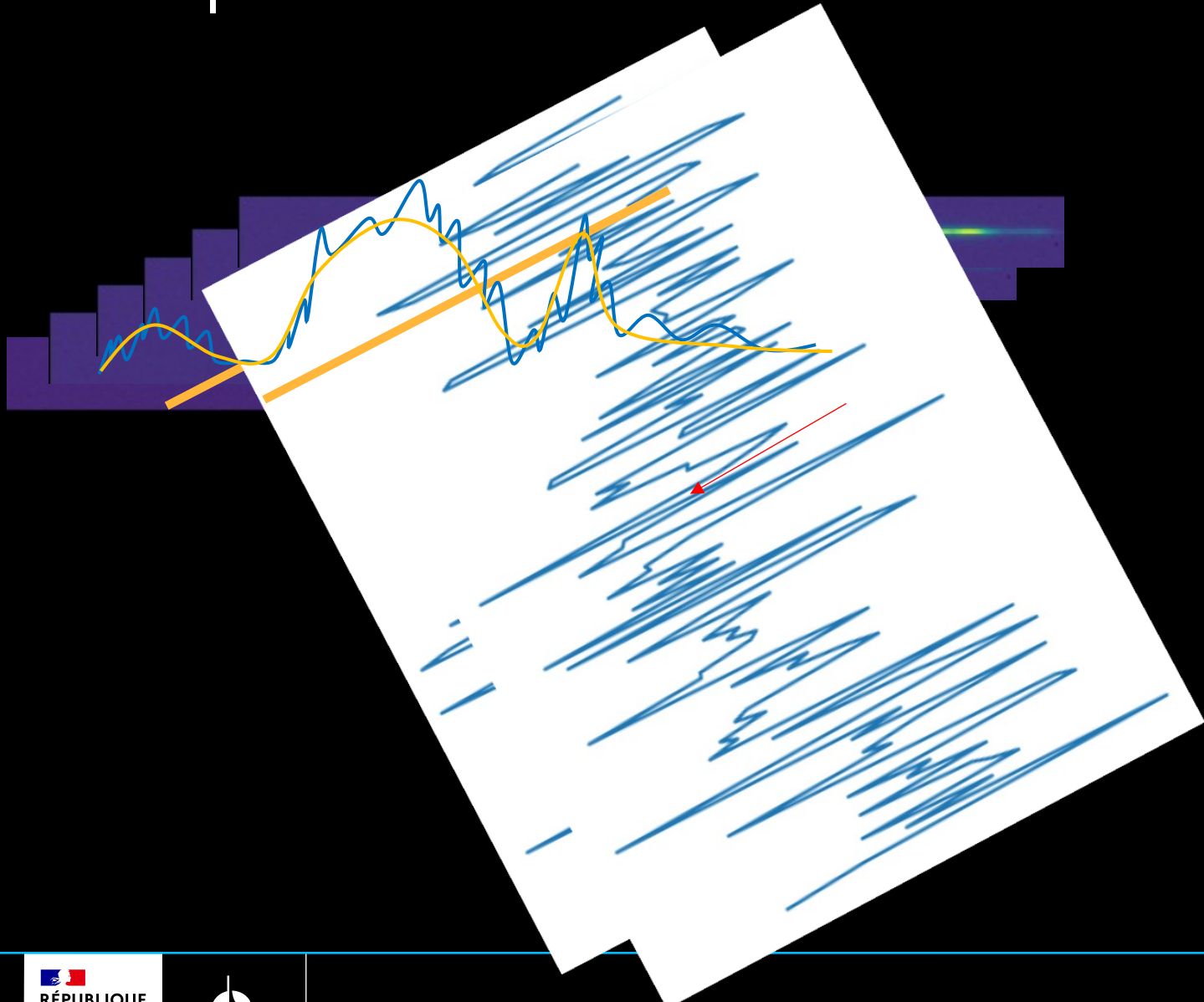
### Comment ?

- Estimation de début et de fin de transit par **interpolation**
- Estimation de profondeur par **interpolation**
- Amélioration par méthode de **machine learning** (**Autoencodeur, GPR, NMF**)
- Estimation du rayon par transit moyen sur la courbe de lumière



1000 observations ?

IAP/CNES dans la Baseline Team

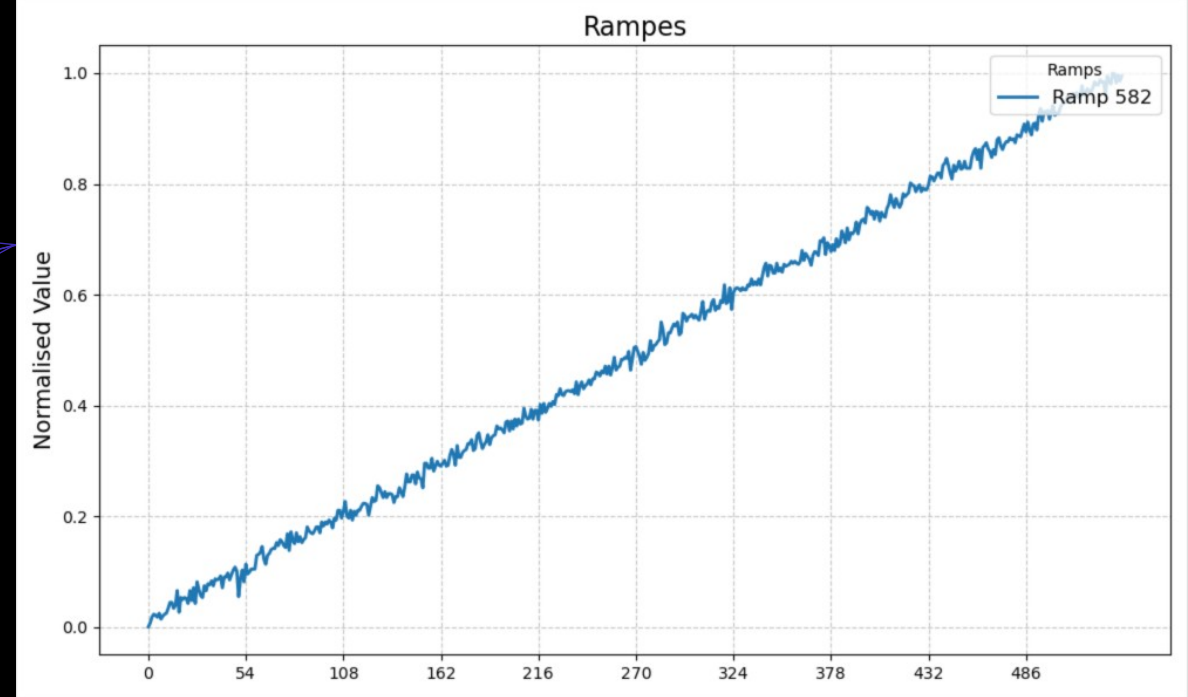
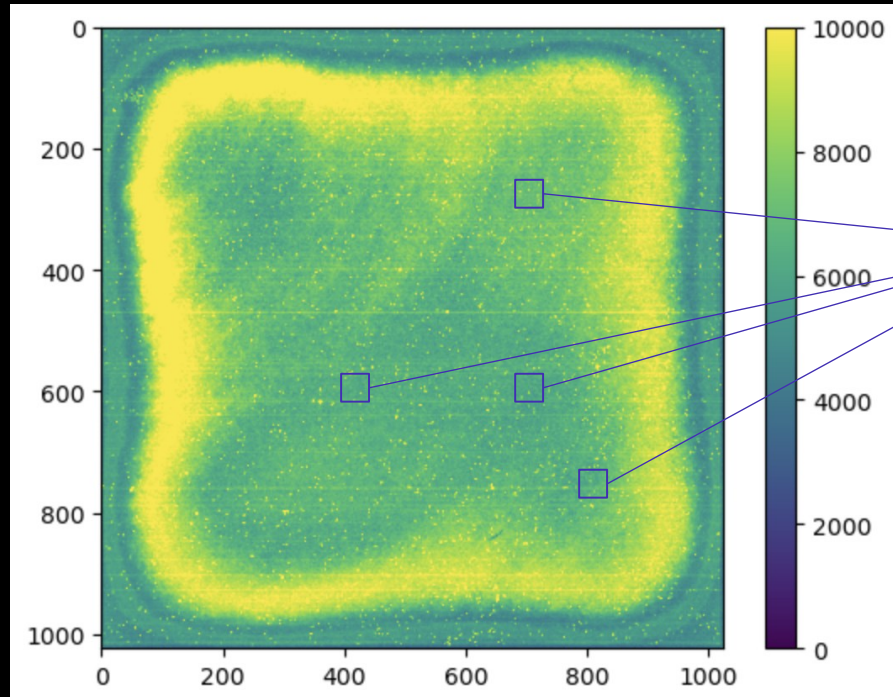


Estimation de la profondeur de transit par wl

## Comment ?

- Estimation de début et de fin de transit par **interpolation**
- Estimation de profondeur par **interpolation**
- Amélioration par méthode de **machine learning (GPR)**
- Estimation du rayon par transit moyen sur la courbe de lumière

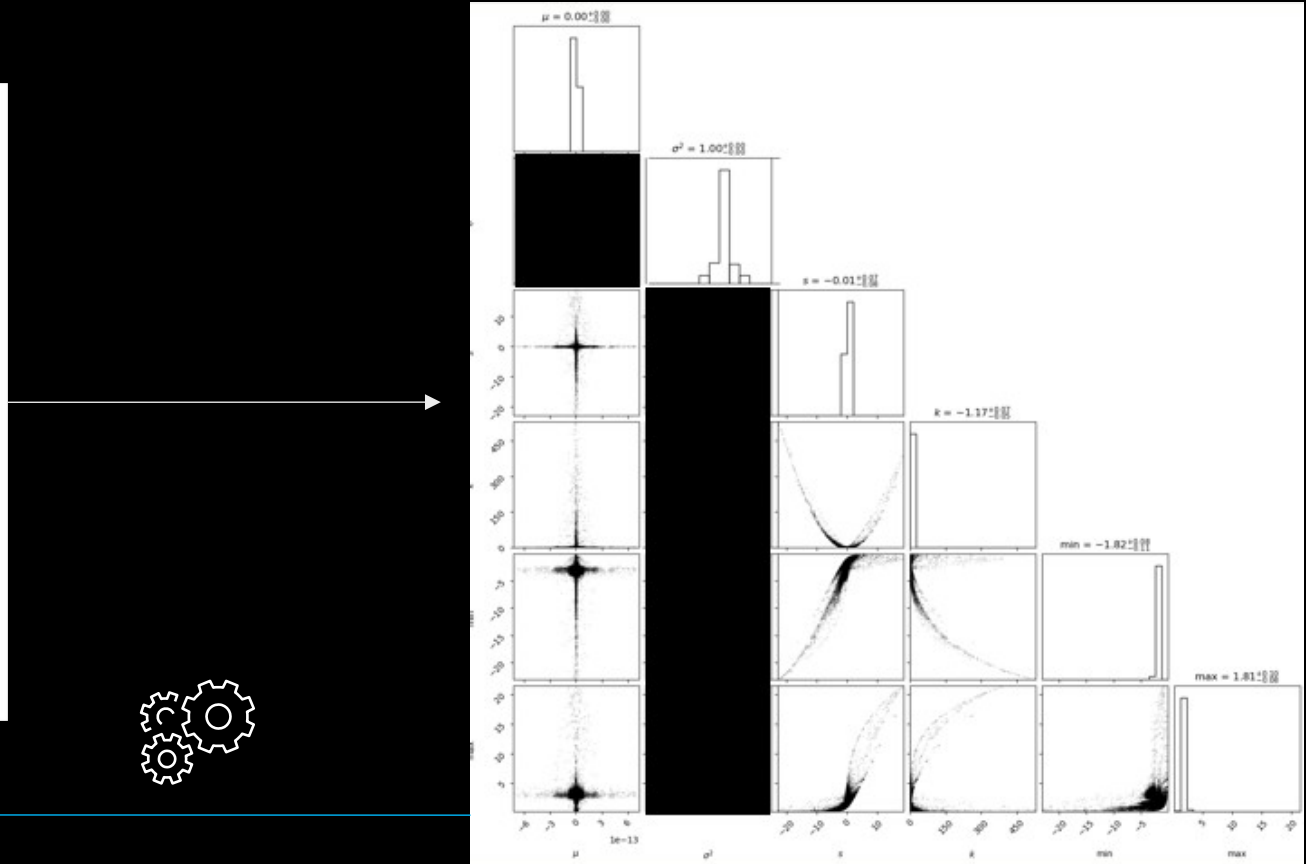
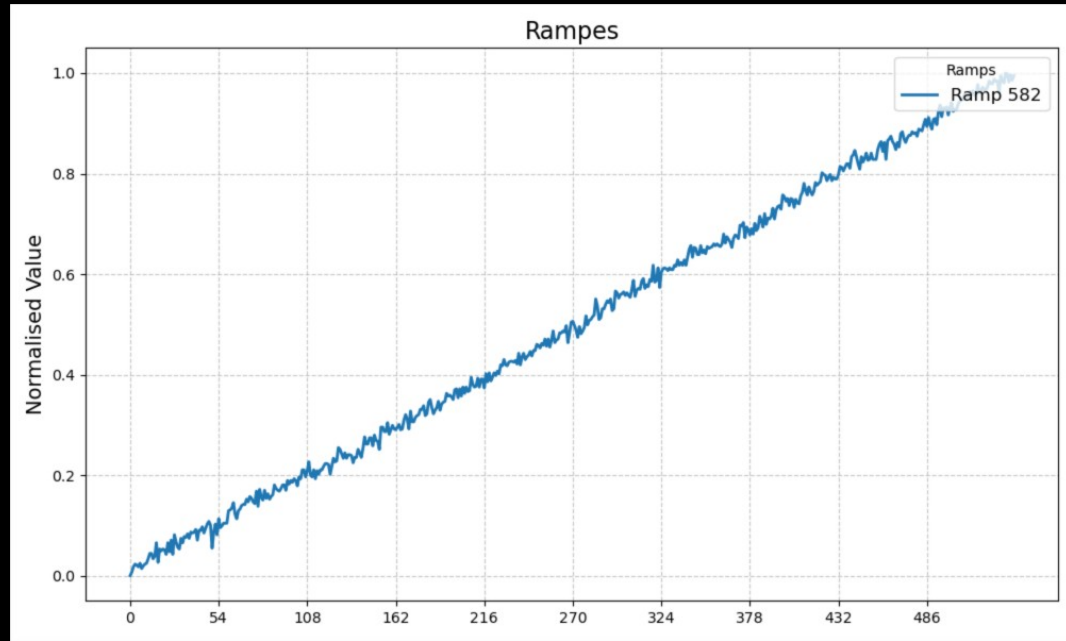
# | BAD PIXELS



40 fichiers de dark mesurés au CEA

# | BAD PIXELS

Non supervisé

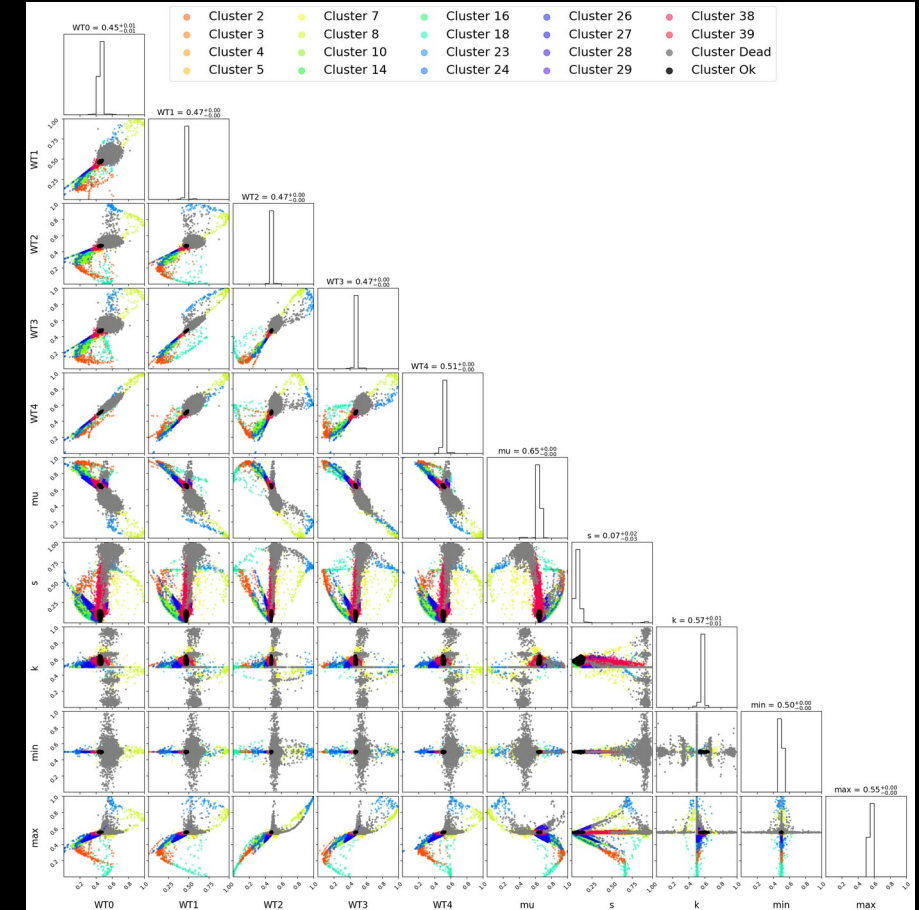
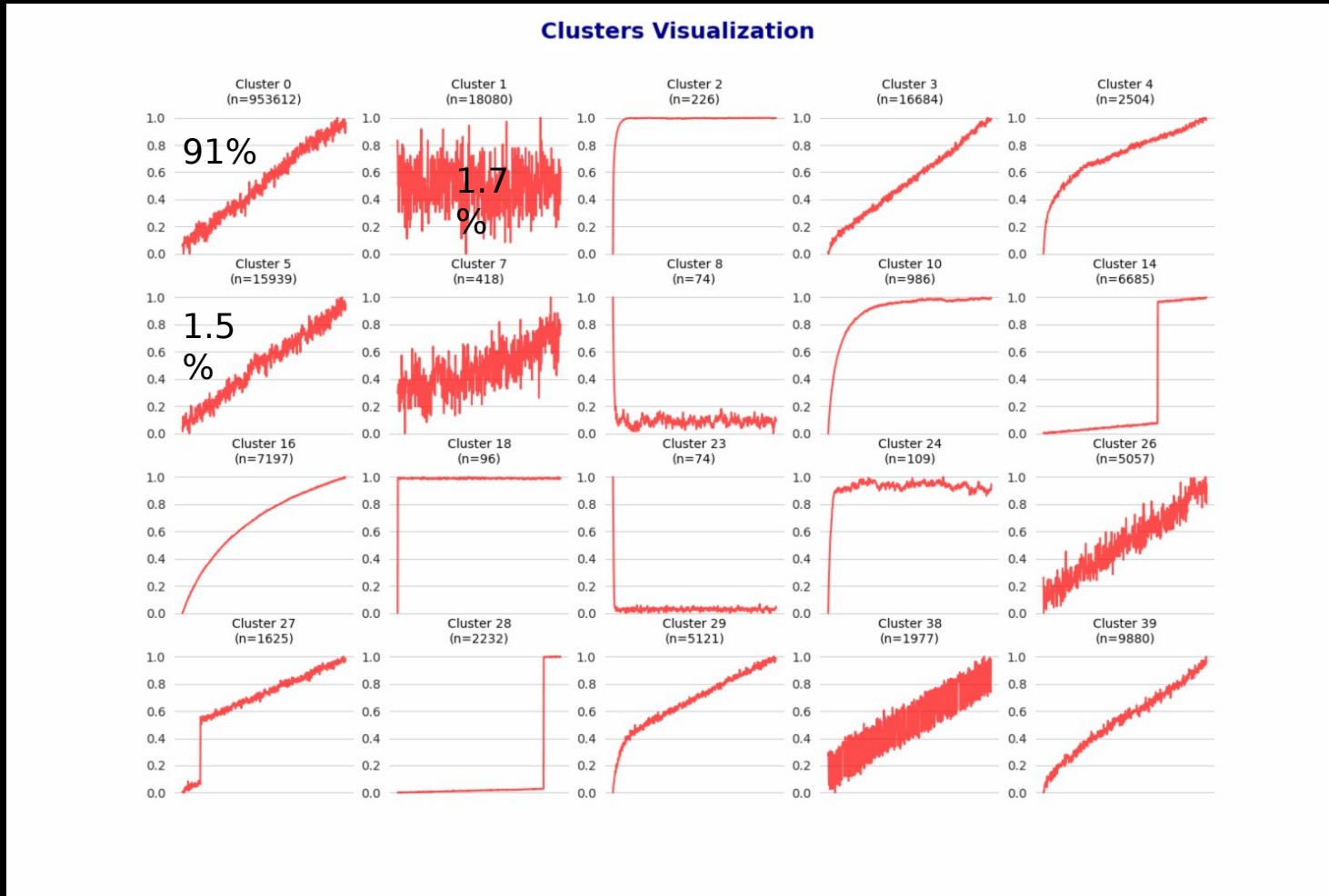


N profils ←



# | BAD PIXELS

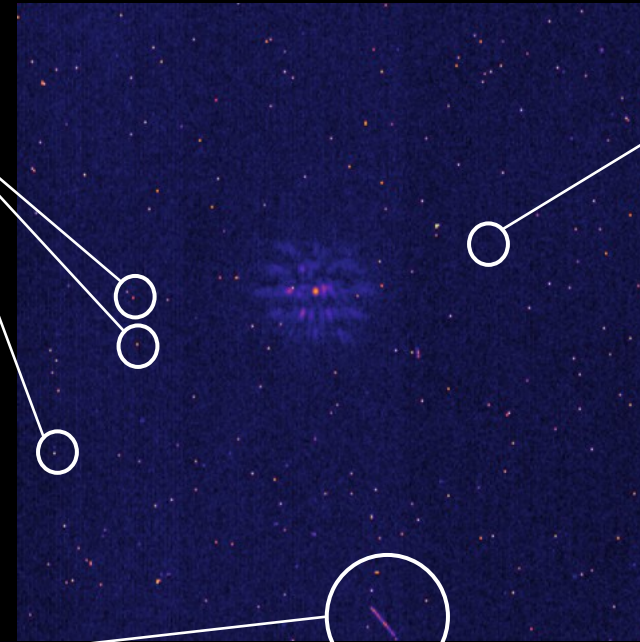
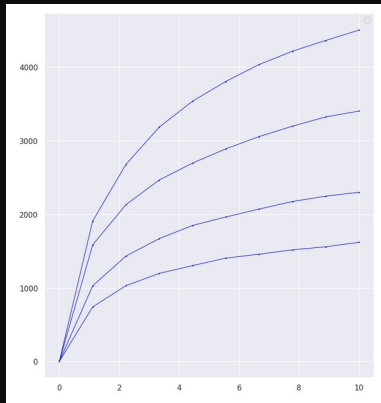
Non supervisé



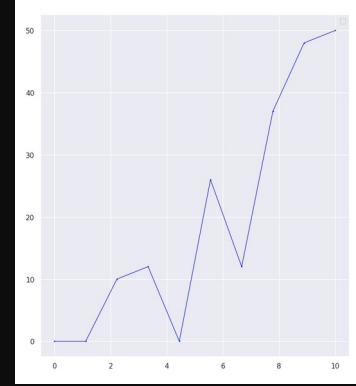
# | BAD PIXELS SUR JWST

PIXELS

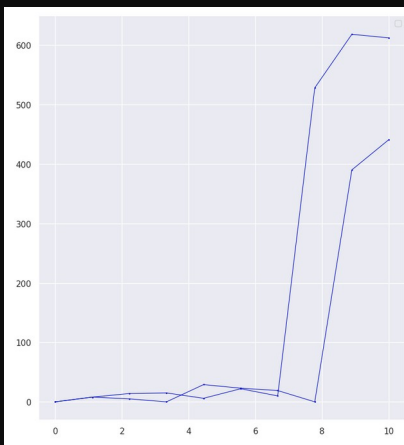
Hot /dead



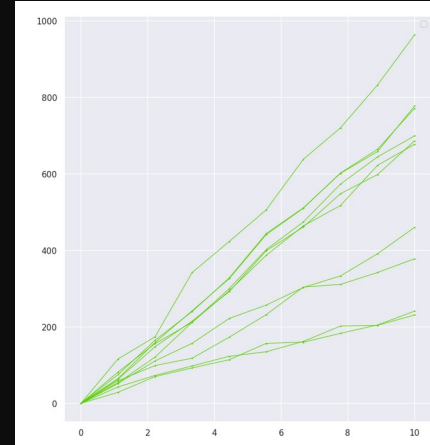
Low



Jum



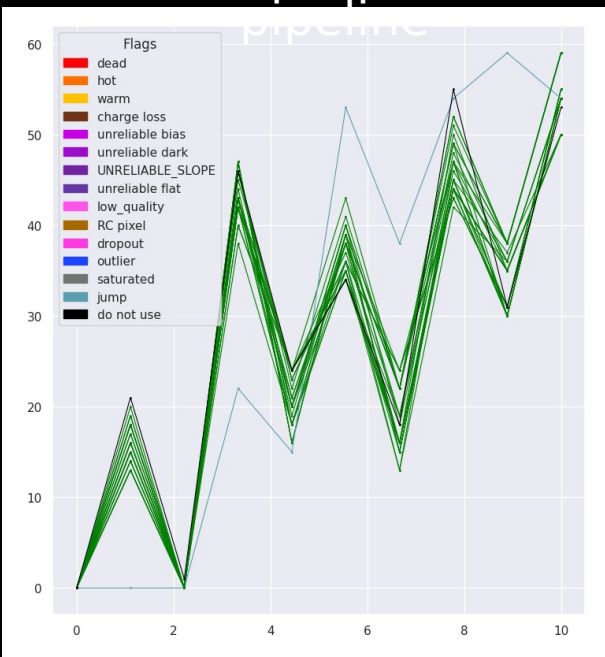
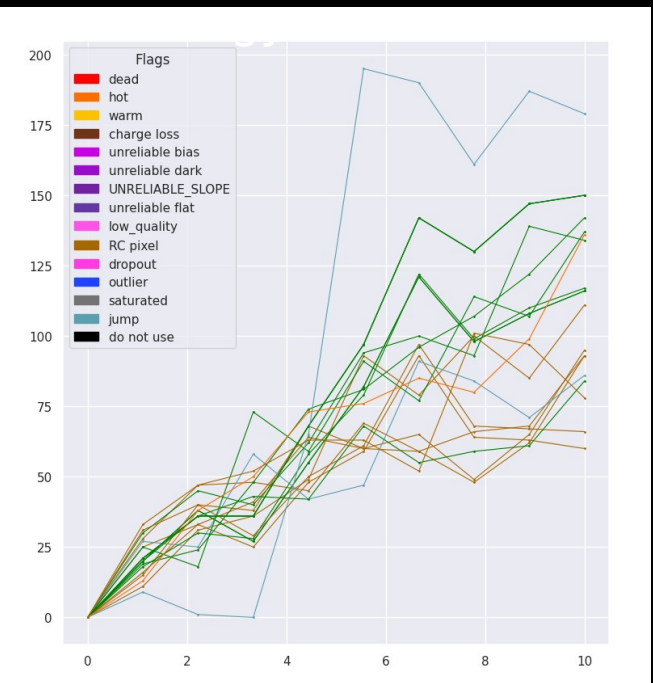
Good



# | BAD PIXELS SUR JWST

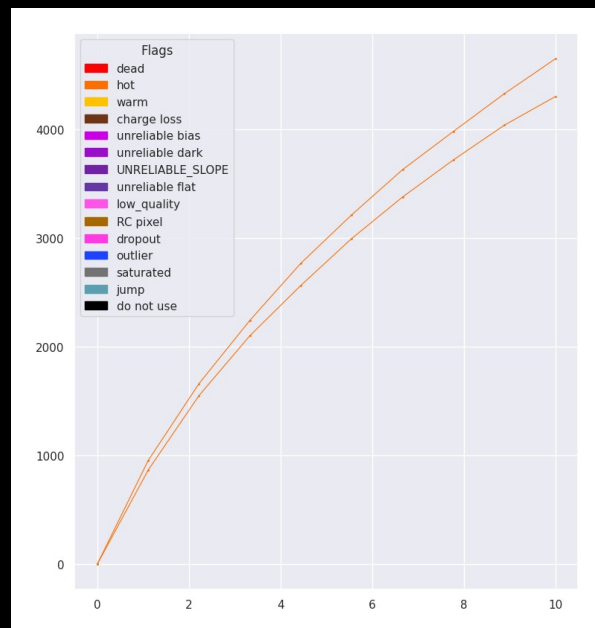
Défauts de la pipeline

Le chaos des low-



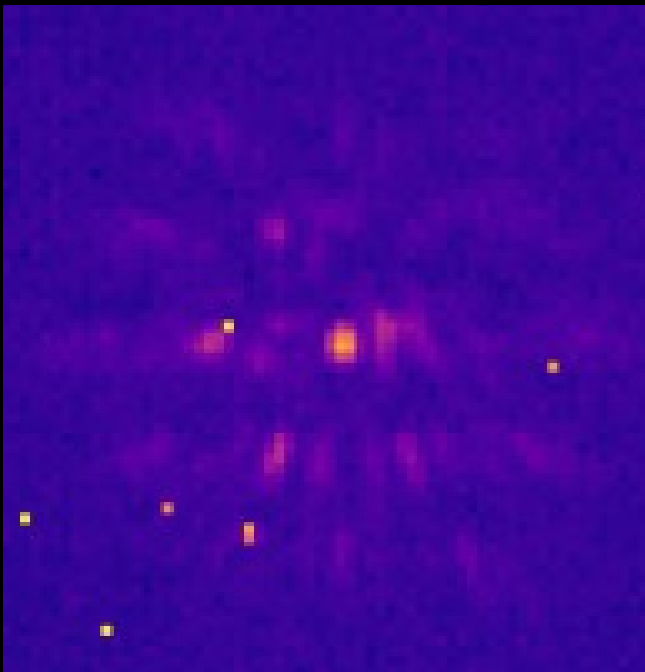
« *good* » pixel d'après la pipeline

Les presque linéaires

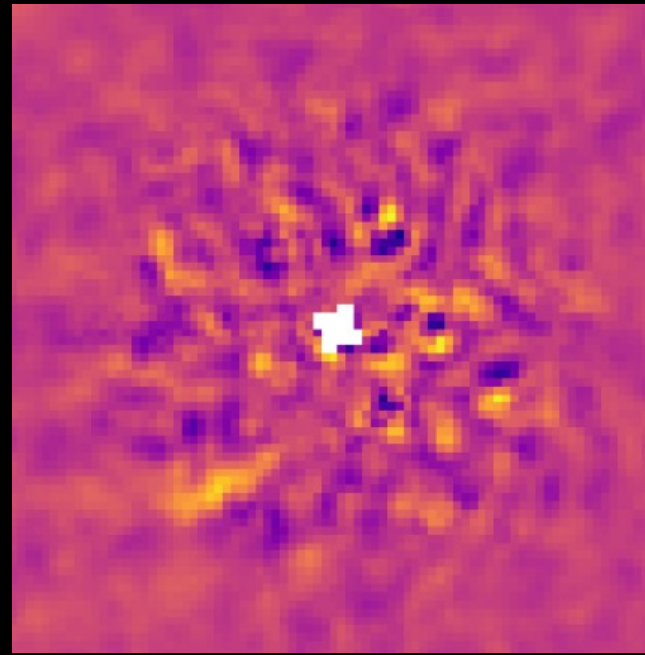


	good	bad
Précision	0.29	0.78
Rappel	0.57	0.52

# | 14 HERCULIS C

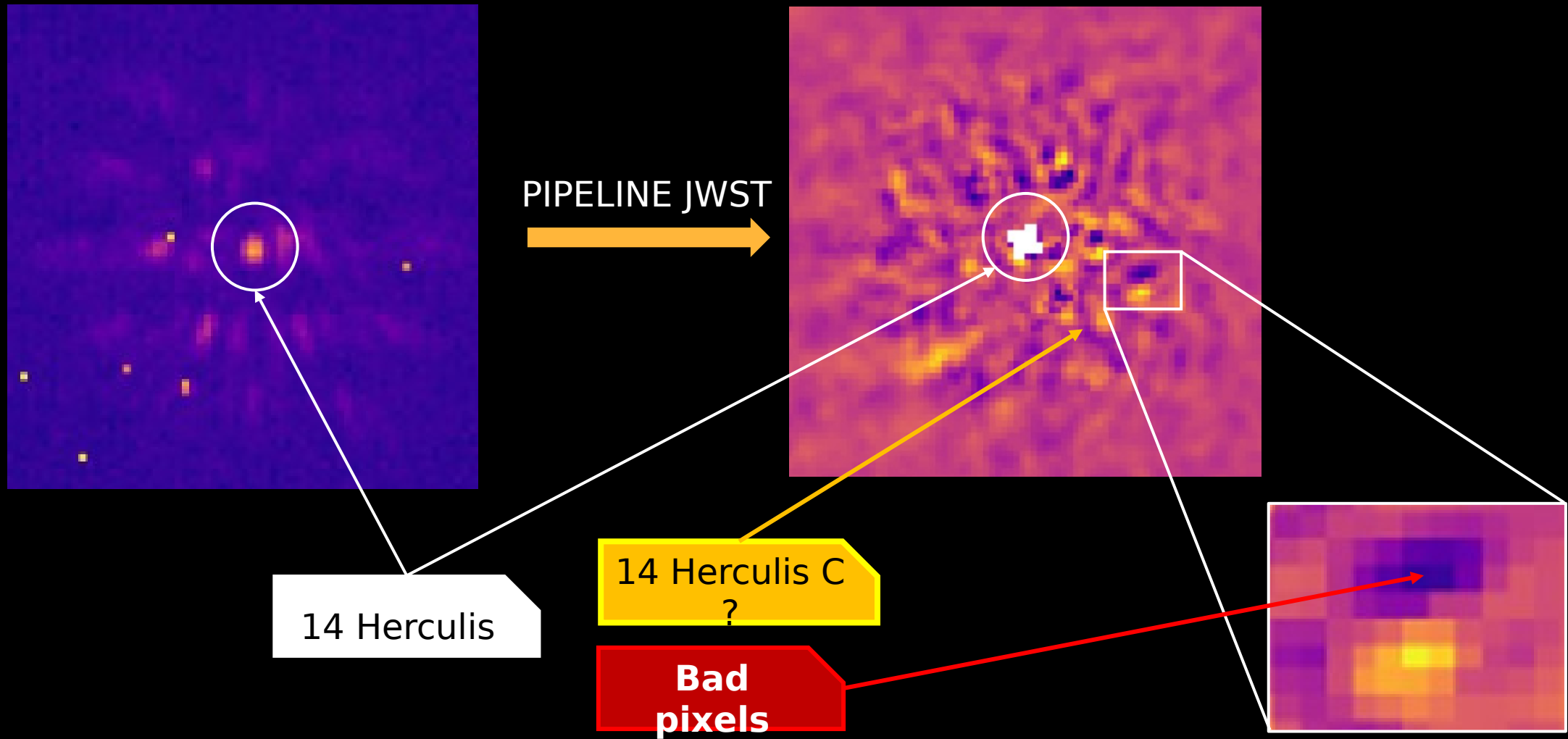


PIPELINE JWST

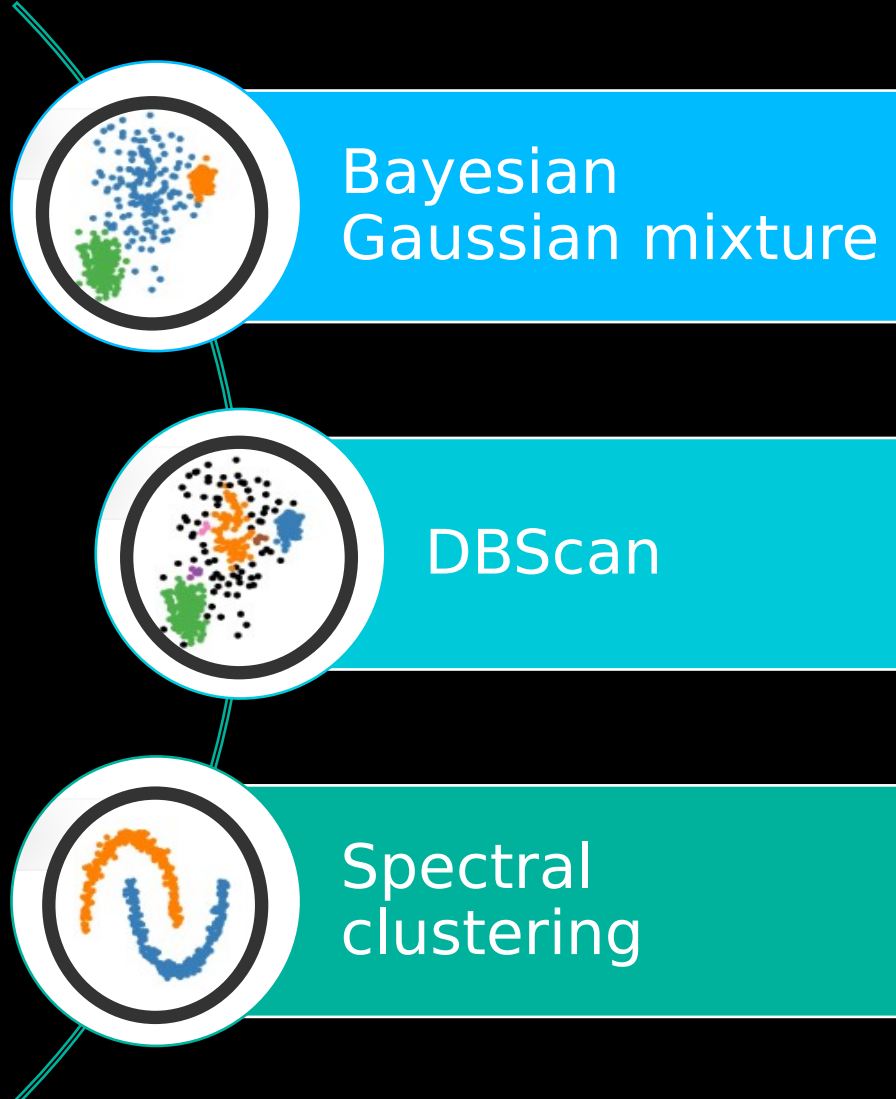


Rampes provenant du pid 3337

# | 14 HERCULIS C



# | BAD PIXELS JWST - NON SUPERVISÉ



	<i>good</i>	<i>bad</i>
Précision	0.79	0.94
Rappel	0.84	0.92

	<i>good</i>	<i>bad</i>
Précision	0.82	0.81
Rappel	0.32	0.97

Pas assez de convergence

# | BAD PIXELS JWST - SUPERVISÉ

PHASE  
EXPÉRIMENTALE



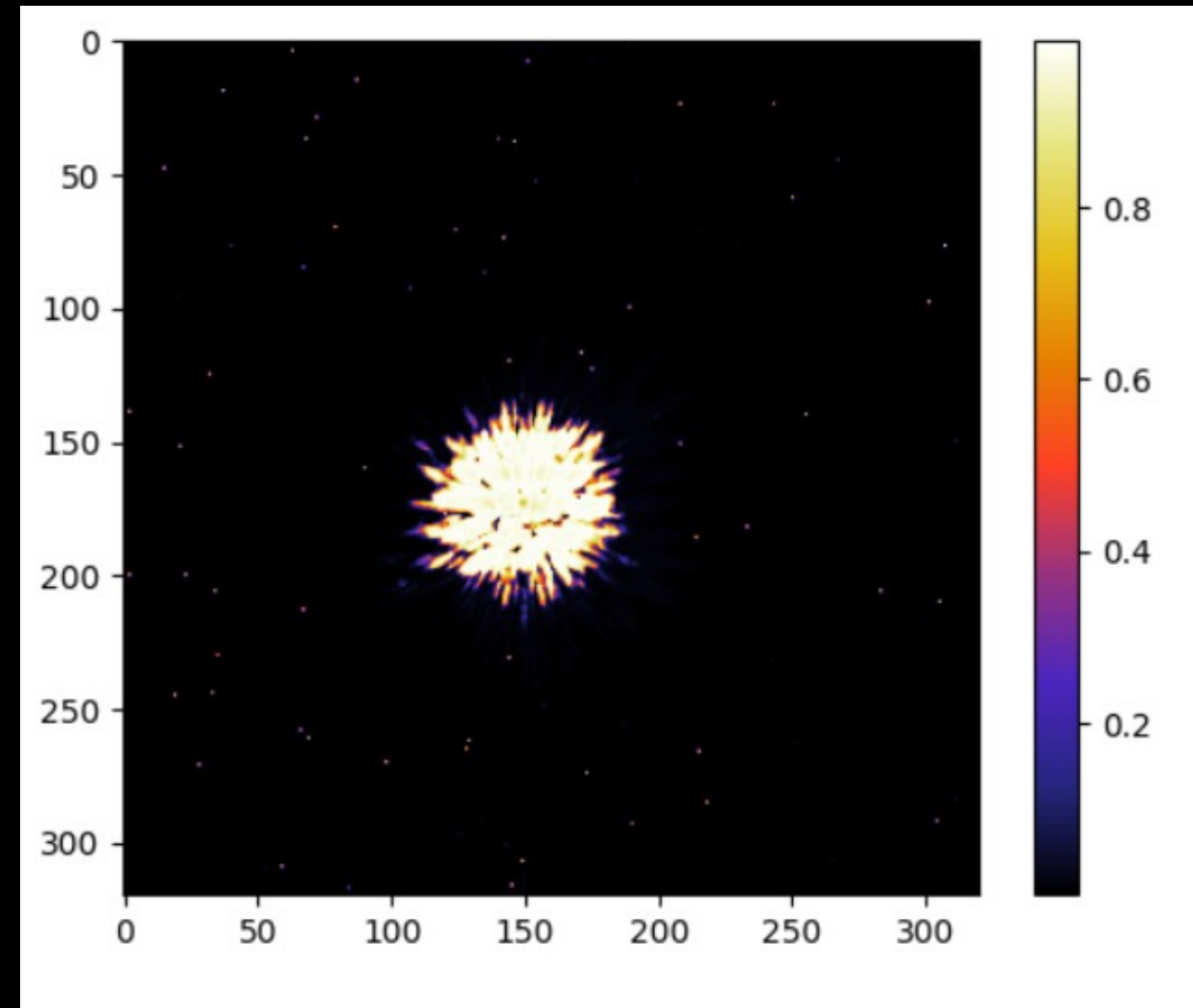
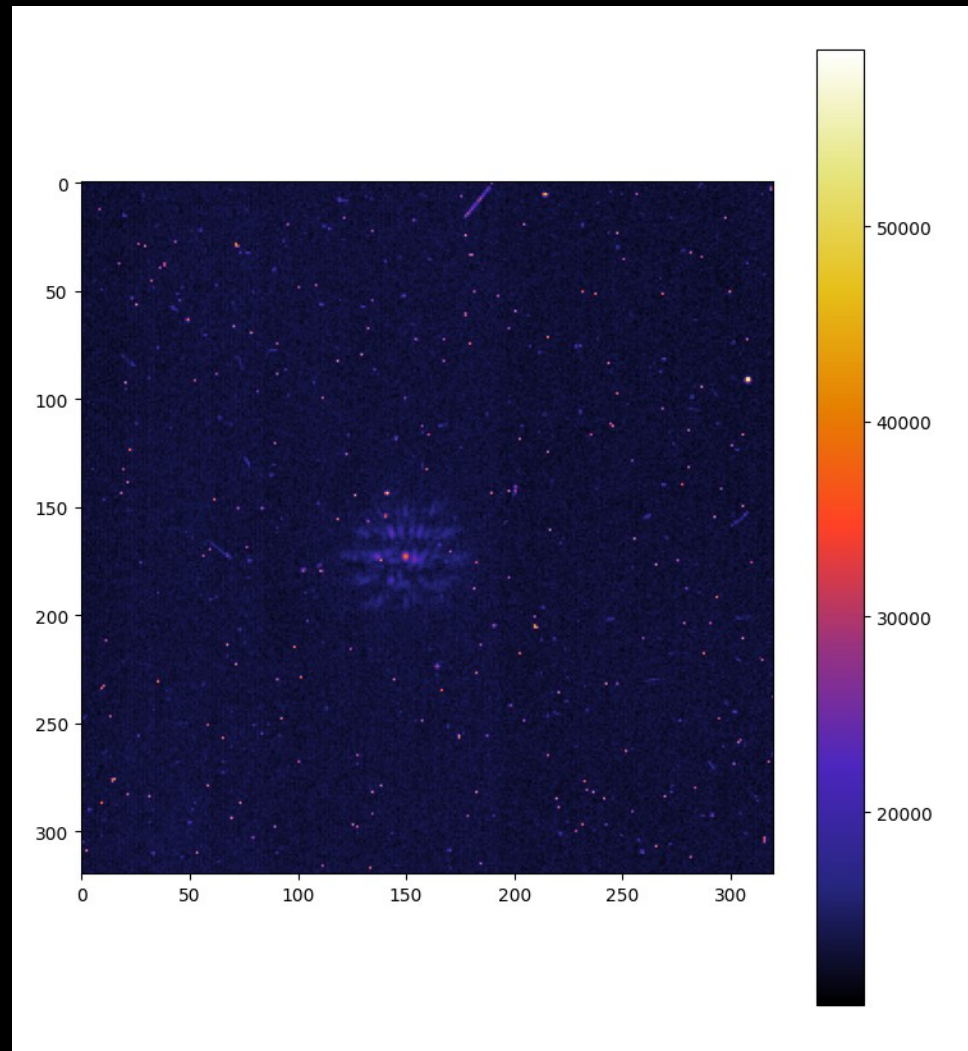
	good	bad
Précision	0.97	0.97
Rappel	0.91	0.99

	good	bad
Précision	0.90	0.96
Rappel	0.87	0.97

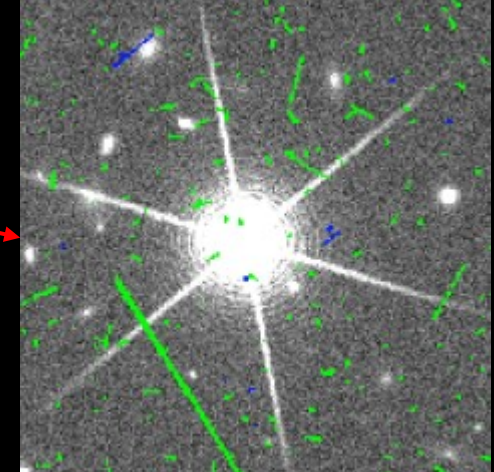
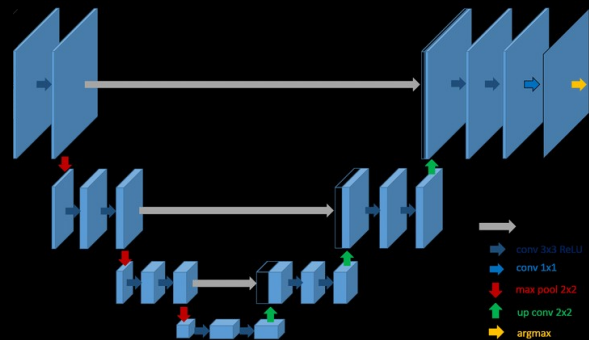
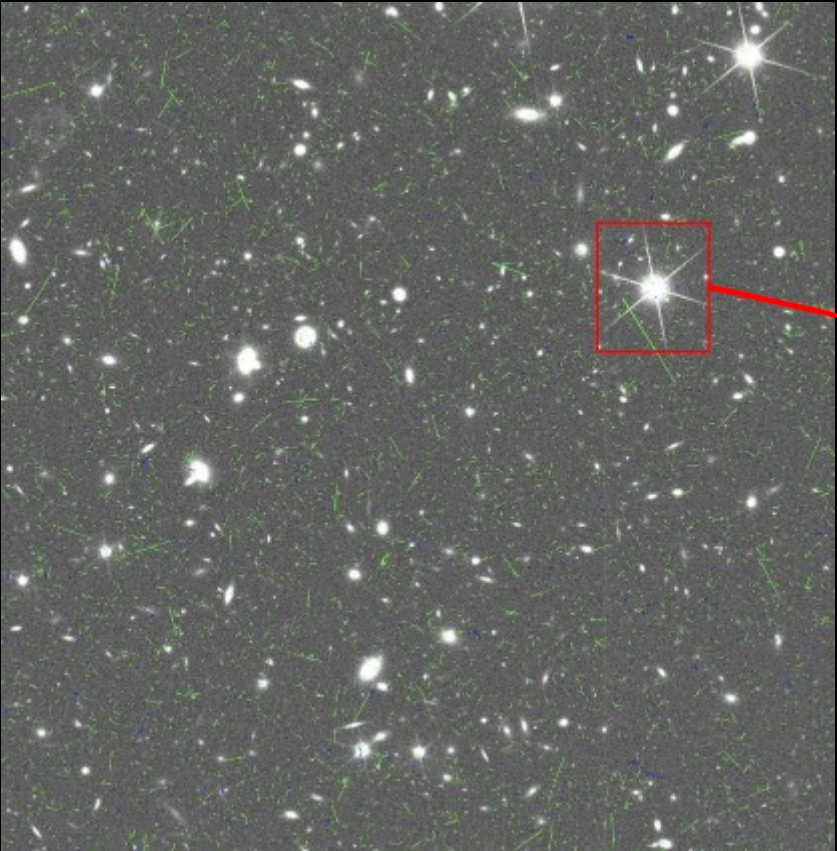
	good	bad
Précision	0.90	0.95
Rappel	0.83	0.97

# | CARTE DE CONFIANCE REVUE

PHASE  
EXPÉRIMENTALE



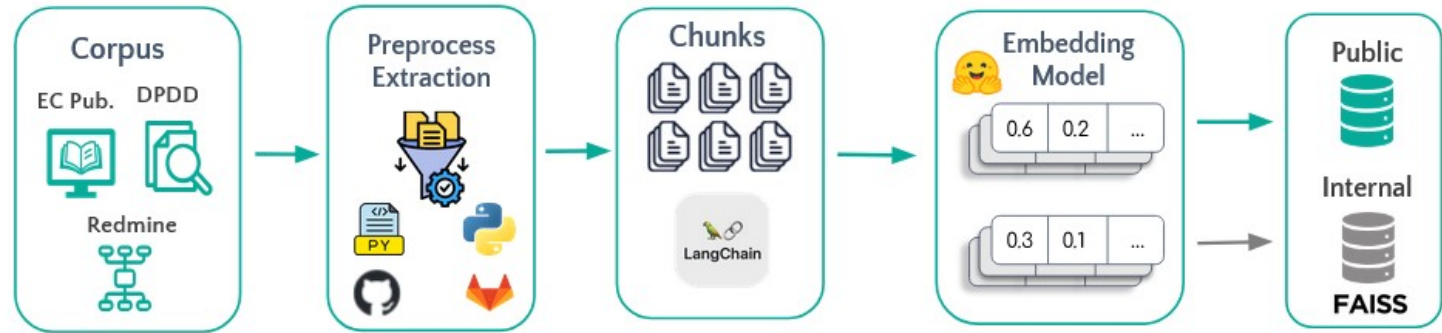
# | RAYON COSMIQUE SUR IMAGE VIS



IoU 93%

# #EUCLID | LLM RAG

## 1. Ingestions



Documentation du modèle de données + articles publiés  
Redmine

## 2. Retrieval

